



深蓝学院
shenlanxueyuon.com

视觉SLAM进阶课程 从零开始手写VIO-第5期

第2讲 IMU_motion_measurement 作业讲评



主讲人 吕华龙



【作业】IMU仿真实践

- ① 设置IMU仿真代码中不同的参数，生成Allan方差标定曲线。

https://github.com/gaowenliang/imu_utils

https://github.com/rpng/kalibr_allan

- ② 将IMU仿真代码中欧拉积分替换成中值积分。

- ③ 提升作业：阅读文献，撰写总结推导

Lovegrove S, Patron-Perez A, Sibley G. [Spline Fusion: A continuous-time representation for visual-inertial fusion with application to rolling shutter cameras](#)[C]//BMVC. 2013, 2(5): 8.

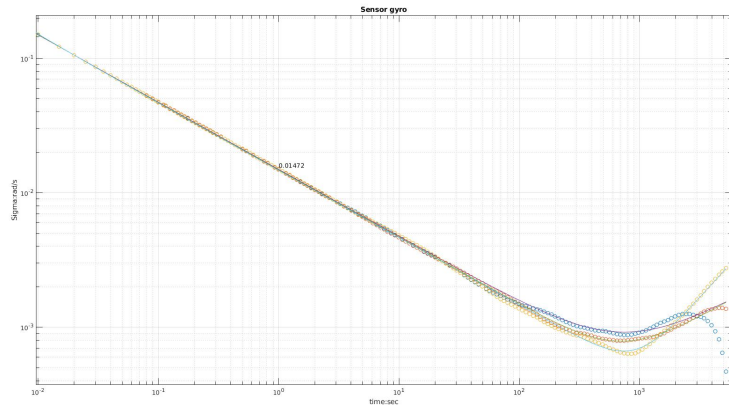
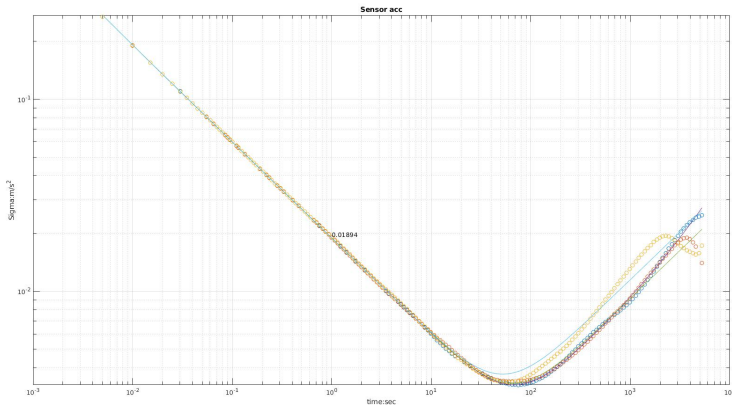
Allan方差标定

仿真数据的产生:

设定每一个时刻位置的运动方程以及旋转(欧拉角)的运动方程, 对方程进行求导, 得到每一个timestamp 的 acc 和 gyro, (需要注意欧拉角速度到Body角速度的变换)

基于ROS版本的imu_utils的IMU误差标定:

vio_data_simulation ==> imu.bag ==> launch imu_utils simulation.launch



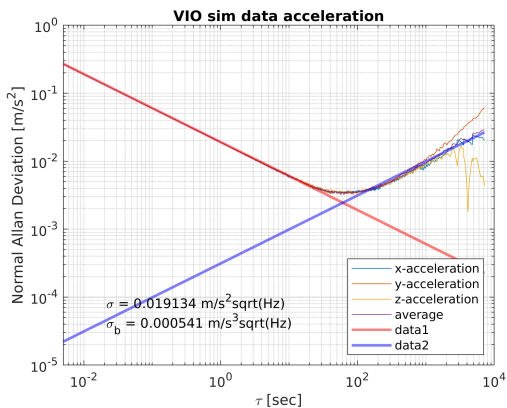
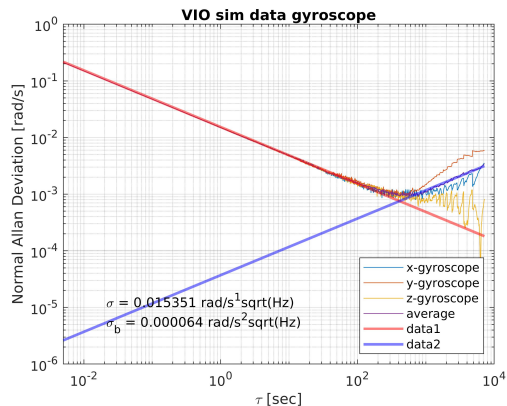
Allan方差标定

基于非ROS版本的kalibr_allan的IMU误差标定:

imu.bag ==> bag convert ==> kalibr allan

很多同学进行了imu_utils与kalibr_allan两种不同标定方法的结果对比，以及设定不同大小的误差，进行多次实验比较。

误差类型	仿真设定值	imu_utils	kalibr_allan
加速度计白噪声($\frac{m}{s^2} \frac{1}{\sqrt{Hz}}$)	0.019	0.0190	0.019169
加速度计随机游走($\frac{m}{s^3} \frac{1}{\sqrt{Hz}}$)	0.0005	0.00024269 (估计)	0.000571
陀螺仪白噪声($\frac{rad}{s} \frac{1}{\sqrt{Hz}}$)	0.015	0.0148	0.015028
陀螺仪随机游走($\frac{rad}{s^2} \frac{1}{\sqrt{Hz}}$)	0.00005	0.00005596 (估计)	0.000041



IMU积分

IMU传感器可以测量当前Body的角速度和加速度，
因此对IMU测量进行积分，可以得到Body的当前P、V、Q

$$\tilde{\omega}^b = \omega^b + \mathbf{b}^g + \mathbf{n}^g$$

$$\tilde{\mathbf{a}}^b = \mathbf{q}_{bw}(\mathbf{a}^w + \mathbf{g}^w) + \mathbf{b}^a + \mathbf{n}^a$$

测量模型

$$\mathbf{p}_{wb_{k+1}} = \mathbf{p}_{wb_k} + \mathbf{v}_k^w \Delta t + \frac{1}{2} \mathbf{a} \Delta t^2$$

$$\mathbf{v}_{k+1}^w = \mathbf{v}_k^w + \mathbf{a} \Delta t$$

$$\mathbf{q}_{wb_{k+1}} = \mathbf{q}_{wb_k} \otimes \begin{bmatrix} 1 \\ \frac{1}{2} \boldsymbol{\omega} \Delta t \end{bmatrix}$$

运动模型

$$\mathbf{a} = \mathbf{q}_{wb_k}(\mathbf{a}^{b_k} - \mathbf{b}_k^a) - \mathbf{g}^w$$

$$\boldsymbol{\omega} = \boldsymbol{\omega}^{b_k} - \mathbf{b}_k^g$$

欧拉积分

中值积分

$$\mathbf{a} = \frac{1}{2} \left[\mathbf{q}_{wb_k}(\mathbf{a}^{b_k} - \mathbf{b}_k^a) - \mathbf{g}^w + \mathbf{q}_{wb_{k+1}}(\mathbf{a}^{b_{k+1}} - \mathbf{b}_k^a) - \mathbf{g}^w \right]$$

$$\boldsymbol{\omega} = \frac{1}{2} \left[(\boldsymbol{\omega}^{b_k} - \mathbf{b}_k^g) + (\boldsymbol{\omega}^{b_{k+1}} - \mathbf{b}_k^g) \right]$$

```
// ***** 欧拉积分 *****
// delta_q = [1, 1/2 * thetax, 1/2 * theta_y, 1/2 * theta_z]
// Eigen::Quaterniond dq;
// Eigen::Vector3d dtheta_half = imupose.imu_gyro * dt / 2.0;
// dq.w() = 1;
// dq.x() = dtheta_half.x();
// dq.y() = dtheta_half.y();
// dq.z() = dtheta_half.z();
// dq.normalize();

// Eigen::Vector3d acc_w = Qwb * (imupose.imu_acc) + gw; // aw = Rwb * (acc_body - acc_bias) + gw
// Qwb = Qwb * dq;
// Pwb = Pwb + Vw * dt + 0.5 * dt * dt * acc_w;
// Vw = Vw + acc_w * dt;

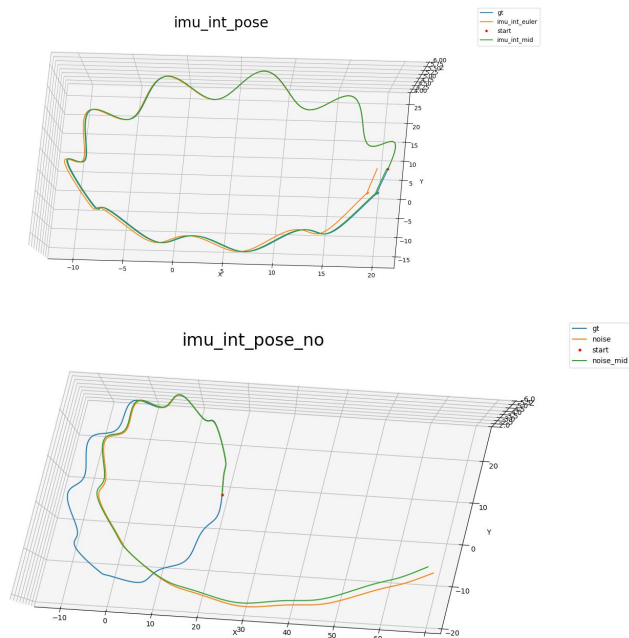
// ***** 中值积分 *****
MotionData imupose_pre = imudata[i - 1];
Eigen::Vector3d mid_omega = (imupose_pre.imu_gyro + imupose.imu_gyro) * 0.5;
Eigen::Vector3d dtheta_half = mid_omega * dt / 2.0;
Eigen::Quaterniond dq(1, dtheta_half.x(), dtheta_half.y(), dtheta_half.z());
dq.normalize();

Eigen::Quaterniond Qwb_newx = Qwb * dq;

Eigen::Vector3d acc_w = 0.5 * (Qwb * (imupose.imu_acc) + gw + Qwb_newx * (imupose_pre.imu_acc) + gw);
Vw = Vw + acc_w * dt;
Pwb = Pwb + Vw * dt + 0.5 * dt * dt * acc_w;
Qwb = Qwb_newx;
```

IMU积分

通过比较可以发现，中值积分的结果会比欧拉积分略好一些。
在仿真中我们可以设定IMU数据是否带噪声，在实际使用中要考虑噪声和偏置的影响。



```
void IMU::eulerIntegration(double _dt,
                           const Eigen::Vector3d &acc_k, const Eigen::Vector3d &gyro_k,           // 第k帧 IMU data
                           const Eigen::Vector3d &acc_bias, const Eigen::Vector3d &gyro_bias,       // IMU 偏置项, 这里假定为常数
                           Eigen::Vector3d &delta_p, Eigen::Quaterniond &delta_q, Eigen::Vector3d &delta_v //前一帧result,以及updated当前帧积分result
)
{
    Eigen::Vector3d gw(0, 0, -9.81); // ENU frame

    Eigen::Vector3d un_gyro = gyro_k - gyro_bias; // w = gyro_body - gyro_bias
    Eigen::Vector3d un_acc = delta_q.toRotationMatrix() * (acc_k - acc_bias) + gw; // aw = Rwb * ( acc_body - acc_bias ) + gw

    // Δq delta q = [1, 1/2 * thetax, 1/2 * thetax y, 1/2 * thetax z]
    delta_q = delta_q * Eigen::Quaterniond(1, un_gyro(0) * _dt / 2, un_gyro(1) * _dt / 2, un_gyro(2) * _dt / 2);
    // Δp
    delta_p = delta_p + delta_v * _dt + 0.5 * un_acc * _dt * _dt;
    // Δv
    delta_v = delta_v + un_acc * _dt;
}

void IMU::midPointIntegration(double _dt,
                              const Eigen::Vector3d &acc_0, const Eigen::Vector3d &gyro_0,
                              const Eigen::Vector3d &acc_1, const Eigen::Vector3d &gyro_1,
                              const Eigen::Vector3d &acc_bias, const Eigen::Vector3d &gyro_bias,
                              Eigen::Vector3d &delta_p, Eigen::Quaterniond &delta_q, Eigen::Vector3d &delta_v)
{
    Eigen::Vector3d gw(0, 0, -9.81); // ENU frame
    Eigen::Vector3d un_gyro = 0.5 * (gyro_0 + gyro_1) - gyro_bias;

    Eigen::Vector3d un_acc_0 = delta_q.toRotationMatrix() * (acc_0 - acc_bias) + gw;
    // Δq
    delta_q = delta_q * Eigen::Quaterniond(1, un_gyro(0) * _dt / 2, un_gyro(1) * _dt / 2, un_gyro(2) * _dt / 2);

    Eigen::Vector3d un_acc_1 = delta_q.toRotationMatrix() * (acc_1 - acc_bias) + gw;
    Eigen::Vector3d un_acc = 0.5 * (un_acc_0 + un_acc_1);
    // Δp
    delta_p = delta_p + delta_v * _dt + 0.5 * un_acc * _dt * _dt;
    // Δv
    delta_v = delta_v + un_acc * _dt;
}
```

基于累积3次B-Spline的SE3插值

Spline Fusion: A continuous-time representation for visual-inertial fusion with application to rolling shutter cameras

累积基函数的 B 次样条曲线如下：

Cubic B-Splines:

常被用来表示 \mathbb{R}^3 的轨迹，但在处理3D旋转时有困难，比如 $SO(3)$

所以本文采用**Cumulative B-Spline basis functions**

- 累积形式确保了对流形插值所需的局部连续性；
- 3次样条确保 C^2 连续性，可以计算沿轨迹任意点的加速度；
- 能够很好的逼近最小转矩轨迹

$$\mathbf{p}(t) = \sum_{i=0}^n \mathbf{p}_i B_{i,k}(t) \quad (1)$$

其中， $\mathbf{p}_i \in \mathbb{R}^N$ ，表示 t_i 时刻的控制点， $B_{i,k}(t)$ 为基函数，公式如下：

$$B_{i,0}(x) = \begin{cases} 1, & t_i \leq x < t_{i+1} \\ 0, & \text{otherwise} \end{cases} \quad (2)$$

$$B_{i,p}(x) = \frac{x - t_i}{t_{i+p} - t_i} B_{i,p-1}(x) + \frac{t_{i+p+1} - x}{t_{i+p+1} - t_{i+1}} B_{i+1,p-1}(x) \quad (3)$$

公式(1)可以改写为：

$$\mathbf{p}(t) = \mathbf{p}_0 \tilde{B}_{0,k}(t) + \sum_{i=0}^n (\mathbf{p}_i - \mathbf{p}_{i-1}) \tilde{B}_{i,k}(t) \quad (4)$$

其中， $\tilde{B}_{i,k}(t) = \sum_{j=i}^n B_{j,k}(t)$ 为累积基函数，然后通过用控制点之间的对数变换 $\Omega_i = \log(\mathbf{T}_{w,i-1}^{-1}, \mathbf{T}_{w,i})$ 操作代替控制点之差来描述 SE3 中的轨迹，公式(4)可以进一步变换成：

$$\mathbf{T}_{w,s}(t) = \exp\left(\tilde{B}_{0,k}(t) \log \mathbf{T}_{w,0}\right) \prod_{i=1}^n \exp\left(\tilde{B}_{i,k}(t) \Omega_i\right) \quad (5)$$

其中， $\mathbf{T}_{w,s}(t) \in \text{SE3}$ 是样条曲线上 t 时刻的位姿，而 $\mathbf{T}_{w,i} \in \text{SE3}$ 就是世界坐标系下控制点位姿。

基于累积3次B-Spline的SE3插值

对于四次累计 B 样条曲线, $t \in [t_i, t_{i+1}]$ 这段时间中一共有 $[t_{i-1}, t_i, t_{i+1}, t_{i+2}]$ 四个控制点来确定时刻 t 的样条曲线上的值, 使用 $s(t) = (t - t_0) / \Delta t$ 来表示平均时间的函数, 控制点的时刻 t_i 就可以由平均时间函数 $s_i \in [0, 1, \dots, n]$ 来表示, 对于时间 $s_i \leq s(t) < s_{i+1}$, 定义 $u(t) = s(t) - s_i$ 来表示。重写矩阵形式的 B 样条曲线以及它的一阶二阶微分函数如下:

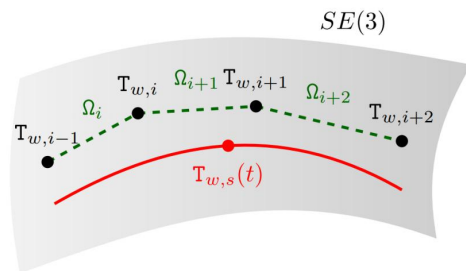
$$\tilde{\mathbf{B}}(u) = \mathbf{C} \begin{bmatrix} 1 \\ u \\ u^2 \\ u^3 \end{bmatrix}, \quad \dot{\tilde{\mathbf{B}}}(u) = \frac{1}{\Delta t} \mathbf{C} \begin{bmatrix} 0 \\ 1 \\ 2u \\ 3u^2 \end{bmatrix}, \quad \ddot{\tilde{\mathbf{B}}}(u) = \frac{1}{\Delta t^2} \mathbf{C} \begin{bmatrix} 0 \\ 0 \\ 2 \\ 6u \end{bmatrix}, \quad \mathbf{C} = \frac{1}{6} \begin{bmatrix} 6 & 0 & 0 & 0 \\ 5 & 3 & -3 & 1 \\ 1 & 3 & 3 & -2 \\ 0 & 0 & 0 & 1 \end{bmatrix} \quad (6)$$

样条轨迹上的位姿可以定义为:

$$\mathbf{T}_{w,s}(u) = \mathbf{T}_{w,i-1} \prod_{j=1}^3 \exp(\tilde{\mathbf{B}}(u)_j \Omega_{i+j}) \quad (7)$$

其中 i 下标表示时间 t 所在的时间间隔区间, 求上式的一阶导数和二阶导数, 也就是对应的速度和加速度, 如下:

$$\begin{aligned} \dot{\mathbf{T}}_{w,s}(u) &= \mathbf{T}_{w,i-1} (\dot{\mathbf{A}}_0 \mathbf{A}_1 \mathbf{A}_2 + \mathbf{A}_0 \dot{\mathbf{A}}_1 \mathbf{A}_2 + \mathbf{A}_0 \mathbf{A}_1 \dot{\mathbf{A}}_2), \\ \ddot{\mathbf{T}}_{w,s}(u) &= \mathbf{T}_{w,i-1} \left(\ddot{\mathbf{A}}_0 \mathbf{A}_1 \mathbf{A}_2 + \mathbf{A}_0 \ddot{\mathbf{A}}_1 \mathbf{A}_2 + \mathbf{A}_0 \mathbf{A}_1 \ddot{\mathbf{A}}_2 + \right. \\ &\quad \left. 2(\dot{\mathbf{A}}_0 \dot{\mathbf{A}}_1 \mathbf{A}_2 + \dot{\mathbf{A}}_0 \mathbf{A}_1 \dot{\mathbf{A}}_2 + \mathbf{A}_0 \dot{\mathbf{A}}_1 \dot{\mathbf{A}}_2) \right), \\ \mathbf{A}_j &= \exp(\Omega_{i+j} \tilde{\mathbf{B}}(u)_j), \quad \dot{\mathbf{A}}_j = \mathbf{A}_j \Omega_{i+j} \dot{\tilde{\mathbf{B}}}(u)_j, \\ \ddot{\mathbf{A}}_j &= \dot{\mathbf{A}}_j \Omega_{i+j} \dot{\tilde{\mathbf{B}}}(u)_j + \mathbf{A}_j \Omega_{i+j} \ddot{\tilde{\mathbf{B}}}(u)_j \end{aligned}$$



基于累积3次B-Spline的SE3插值

最后根据推导的结论，利用已知的轨迹在B样条曲线上插值生成观测路标点和IMU测量

视觉惯性数据模型：在 a 帧投影的逆深度转换到 b 帧图像系下，

$$\mathbf{p}_b = \mathcal{W}(\mathbf{p}_a; \mathbf{T}_{b,a}, \rho) = \pi\left(\left[\mathbf{K}_b \mid \mathbf{0}\right] \mathbf{T}_{b,a} \left[\mathbf{K}_a^{-1} \begin{bmatrix} \mathbf{p}_a \\ 1 \end{bmatrix}; \rho\right]\right) \quad (9)$$

利用推导出来 B 样条曲线的公式，生成加速度计和陀螺仪的测量模型：

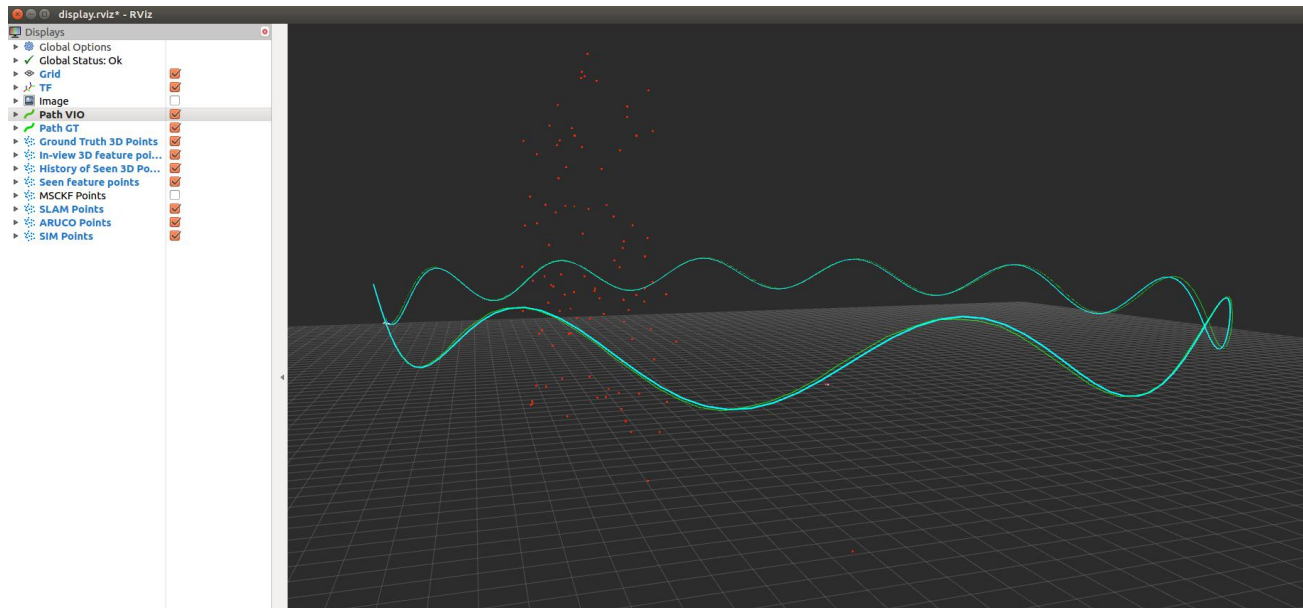
$$\begin{aligned} \text{Gyro}(u) &= \mathbf{R}_{w,s}^T(u) \cdot \dot{\mathbf{R}}_{w,s}(u) + \text{bias}, \\ \text{Accel}(u) &= \mathbf{R}_{w,s}^T(u) \cdot (\ddot{\mathbf{s}}_w(u) + \mathbf{g}_w) + \text{bias}. \end{aligned} \quad (10)$$

误差最小化：

$$\begin{aligned} E(\theta) &= \sum_{\hat{\mathbf{p}}_m} \left(\hat{\mathbf{p}}_m - \mathcal{W}(\mathbf{p}_r; \mathbf{T}_{c,s} \mathbf{T}_{w,s}(u_m)^{-1} \mathbf{T}_{w,s}(u_r) \mathbf{T}_{s,c}, \rho) \right)_{\Sigma_p}^2 + \\ &\quad \sum_{\hat{\omega}_m} \left(\hat{\omega}_m - \text{Gyro}(u_m) \right)_{\Sigma_\omega}^2 + \sum_{\hat{\mathbf{a}}_m} \left(\hat{\mathbf{a}}_m - \text{Accel}(u_m) \right)_{\Sigma_a}^2, \end{aligned} \quad (11)$$

最后，通过最小化观测值与测量值的误差函数来估计曲线参数。

基于累积3次B-Spline的SE3插值



- <https://github.com/Zihan-Wang/IMUsimulation>
- http://udel.edu/~pgeneva/downloads/notes/2018_notes_mueffler2017arxiv.pdf
- Continuous-Time Visual-Inertial Odometry for Event Cameras][<https://ieeexplore.ieee.org/abstract/document/8432102/>)]
- A Spline-Based Trajectory Representation for Sensor Fusion and Rolling Shutter Cameras][<https://link.springer.com/article/10.1007/s11263-015-0811-3>)]

感谢各位聆听 !
Thanks for Listening !

